

# Laboratori del corso di Statistica (cp)

## 2. Regressione Poisson

Leonardo Egidi

AA 2021/2022

### Assicurazioni auto

Leggiamo l'archivio `car.csv` (De Jong and Heller, 2008)

```
cars <- read.csv(file="car.csv", header=TRUE, sep=";")
```

Il campione riguarda delle polizze RC auto annuali, in forza nel 2004 o 2005. In particolare si hanno per 67856 polizze le seguenti variabili.

- `exposure` ( $\in [0, 1]$ ) porzione dell'anno in cui la polizza è osservata (periodo in cui è esposta al rischio).
- `numclaims` numero di sinistri
- `claimcst0` valore dei sinistri (0 se `numclaims` è 0)
- `veh_value` valore del veicolo in \$10,000
- `veh_body` tipo di veicolo (13 valori)
- `veh_age` vetustà del veicolo: 1 (più recente), 2, 3, 4
- `gender` sesso del guidatore: M, F
- `area` residenza del guidatore: A, B, C, D, E, F
- `agecat` età del guidatore: 1 (più giovane), 2, 3, 4, 5, 6

Possiamo visualizzare la struttura del `data.frame` con

```

head(cars)

##   veh_value exposure numclaims claimcst0 veh_body veh_age gender
## 1      1.06 0.3039014      0      0    HBACK      3     F
## 2      1.03 0.6488706      0      0    HBACK      2     F
## 3      3.26 0.5694730      0      0     UTE      2     F
## 4      4.14 0.3175907      0      0   STNWG      2     F
## 5      0.72 0.6488706      0      0    HBACK      4     F
## 6      2.01 0.8542094      0      0   HDTOP      3     M
##   area agecat
## 1   C     2
## 2   A     4
## 3   E     2
## 4   D     2
## 5   C     2
## 6   C     4

str(cars)

## 'data.frame': 67856 obs. of  9 variables:
## $ veh_value: num  1.06 1.03 3.26 4.14 0.72 2.01 1.6 1.47 0.52 0.38 ...
## $ exposure : num  0.304 0.649 0.569 0.318 0.649 ...
## $ numclaims: int  0 0 0 0 0 0 0 0 0 ...
## $ claimcst0: num  0 0 0 0 0 0 0 0 0 ...
## $ veh_body  : chr  "HBACK" "HBACK" "UTE" "STNWG" ...
## $ veh_age   : int  3 2 2 2 4 3 3 2 4 4 ...
## $ gender    : chr  "F" "F" "F" "F" ...
## $ area      : chr  "C" "A" "E" "D" ...
## $ agecat    : int  2 4 2 2 4 4 6 3 4 ...

```

Notiamo che alcune variabili che hanno natura categoriale sono codificate come numeri, è conveniente ricodificarle

```

cars$veh_age <- as.factor(cars$veh_age)
cars$agecat <- as.factor(cars$agecat)

```

(notare i cambiamenti usando di nuovo il comando `str(cars)`).

## Analisi esplorativa

La maggior parte delle variabili che interessa esaminare sono categoriali, per analizzare le distribuzioni marginali si userà un diagramma a barre della distribuzione di frequenze.

Considerando ad esempio `numclaims` si ottiene la tabella di frequenze con

```
a <- table(cars$numclaims)
a

## 
##      0      1      2      3      4
## 63232  4333   271    18     2
```

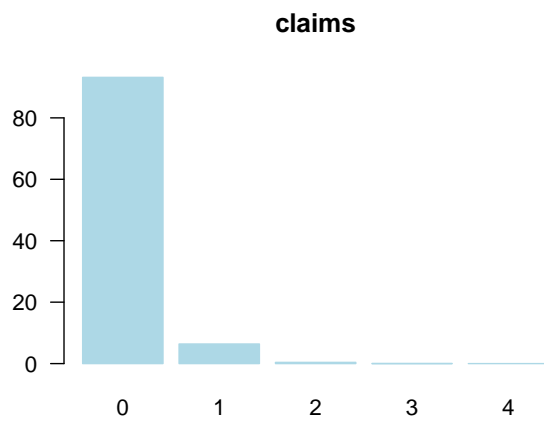
Possiamo anche usare la funzione `prop.table` per ottenere la distribuzione delle frequenze relative

```
a <- prop.table(table(cars$numclaims))
a

## 
##      0      1      2      3      4
## 9.318557e-01 6.385581e-02 3.993751e-03 2.652676e-04 2.947418e-05
```

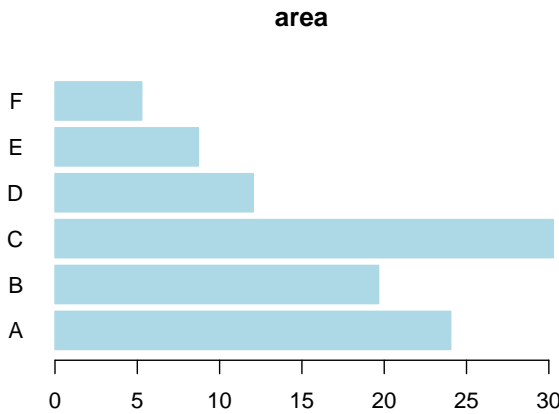
Visualizziamo quest'ultima con un diagramma a barre.

```
barplot(100*a, col="lightblue", border="lightblue", las=1, main="claims")
```

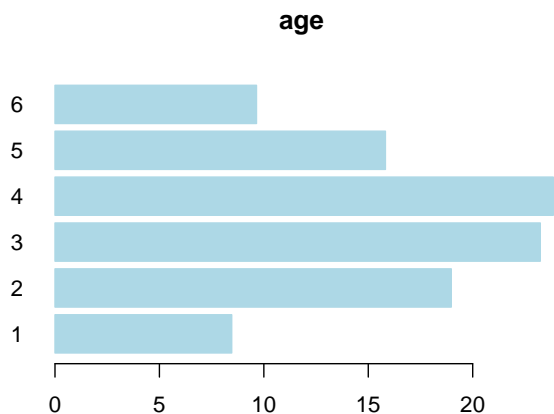


Le istruzioni seguenti visualizzano le distribuzioni di frequenza per tutte le variabili qualitative.

```
a <- prop.table(table(cars$area))
barplot(100*a, col="lightblue", border="lightblue", las=1, horiz=TRUE, main="area")
```

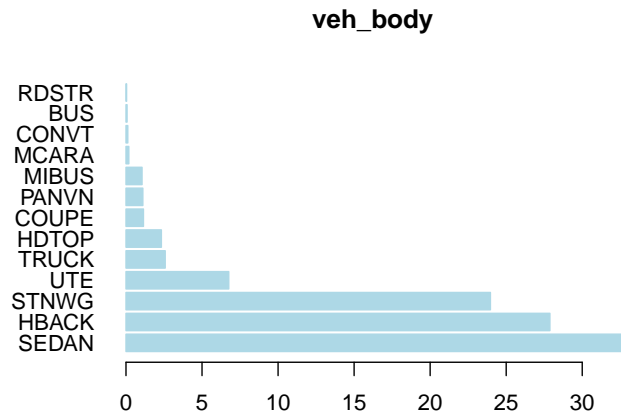


```
a <- prop.table(table(cars$agecat))
barplot(100*a, col="lightblue", border="lightblue", las=1, horiz=TRUE, main="age")
```



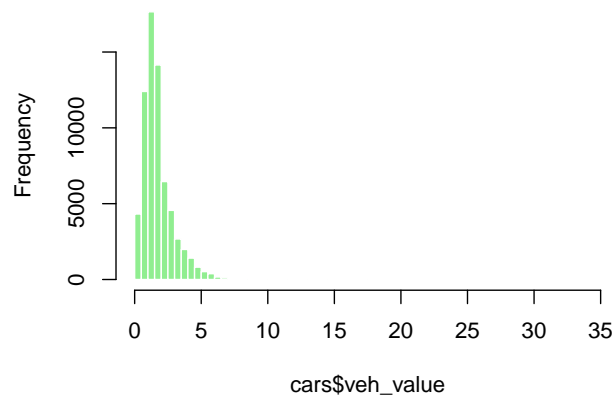
Nel caso di `veh_body` può essere conveniente ordinare i livelli in base alla frequenza per ottenere un grafico più leggibile, inoltre conviene girare di 90 gradi il grafico per lasciare spazio alle etichette.

```
cars$veh_body <- factor(cars$veh_body, levels=names(sort(table(cars$veh_body),
decreasing=TRUE)))
a <- prop.table(table(cars$veh_body))
barplot(100*a, col="lightblue", border="lightblue", las=1, horiz=TRUE,
main="veh_body")
```

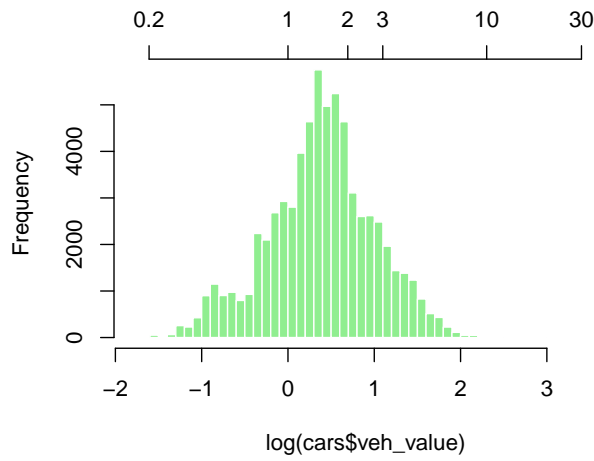


Per quanto riguarda `veh_value`, il grafico originale è poco chiaro a causa dell'asimmetria della variabile, conviene rappresentare anche il logaritmo.

```
hist(cars$veh_value, col="lightgreen", border="white", main="", br=50)
```



```
hist(log(cars$veh_value), col="lightgreen", border="white", main="", br=50)
y.orig <- c(0.2, 1, 2, 3, 10, 30)
axis(3, at=log(y.orig), labels=y.orig)
```



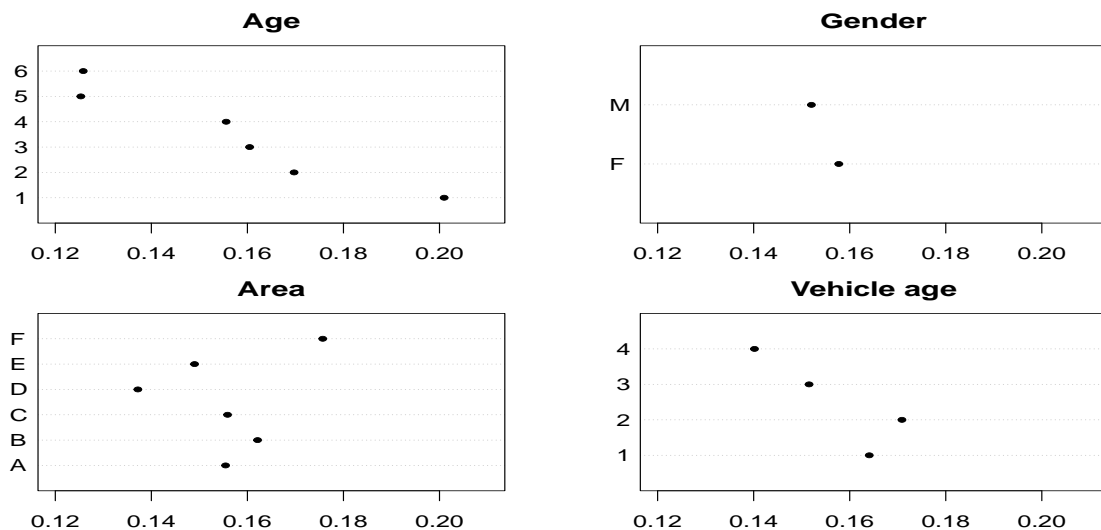
## Relazione con numclaim

Investighiamo la relazione tra il numero di sinistri e le esplicative.

```

cars$muta=1
par(mfrow=c(2,2),mar=c(2,4,2.5,0.5),cex=1.5,las=1)
freqBy=with(cars,by(numclaims,agecat,sum))/with(cars,by(exposure,agecat,sum))
dotchart(as.numeric(freqBy),pch=20,main="Age",xlim=c(0.12,0.21),labels=names(freqBy))
freqBy=with(cars,by(numclaims,gender,sum))/with(cars,by(exposure,gender,sum))
dotchart(as.numeric(freqBy),pch=20,main="Gender",xlim=c(0.12,0.21),labels=names(freqBy))
freqBy=with(cars,by(numclaims,area,sum))/with(cars,by(exposure,area,sum))
dotchart(as.numeric(freqBy),pch=20,main="Area",xlim=c(0.12,0.21),labels=names(freqBy))
freqBy=with(cars,by(numclaims,veh_age,sum))/with(cars,by(exposure,veh_age,sum))
dotchart(as.numeric(freqBy),pch=20,main="Vehicle age",xlim=c(0.12,0.21),labels=names(freqBy))

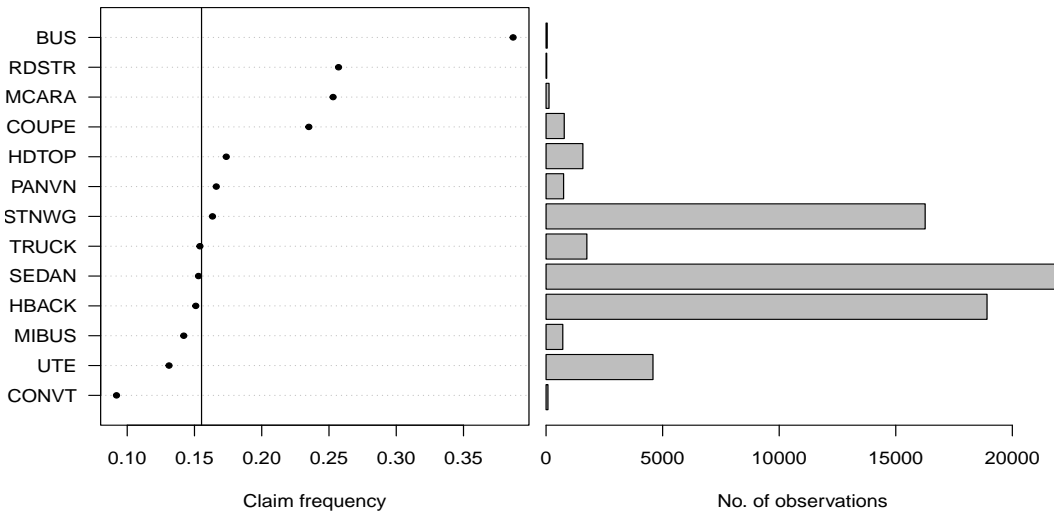
```



```

freqBbody=with(cars,by(numclaims,veh_body,sum))/with(cars,by(exposure,veh_body,sum))
bodyTable=with(cars,table(veh_body))
sl=sort.list(freqBbody)
par(mfrow=c(1,2),mar=c(5,4,0.5,0.5))
dotchart(as.numeric(freqBbody[sl]),pch=20,xlab="Claim frequency")
axis(2,at=1:length(freqBbody),labels=names(freqBbody)[sl],las=1)
abline(v=with(cars,mean(numclaims)/mean(exposure)))
par(mar=c(5,0,0.5,0.5))
barplot(bodyTable[sl],horiz=TRUE,yaxt="n",xlab="No. of observations")

```



## Stima della regressione di Poisson

La prima questione di cui tenere conto è che le polizze non sono esposte al rischio per lo stesso tempo, la variabile `exposure` riporta la frazione di anno per cui il veicolo è coperto.

Il numero di sinistri è naturalmente legato alla variabile di esposizione e questa può essere considerata un *offset*, si stima cioè un modello del tipo

$$y_i \sim \text{Poisson}(\lambda_i)$$

$$\log\left(\frac{\lambda_i}{e_i}\right) = \mathbf{x}_i^T \boldsymbol{\beta}$$

Per apprezzare il ruolo dell'*offset* consideriamo dapprima un modello senza esplicative, in cui cioè

$$\log \lambda_i = \beta_0 + \log e_i$$

che stimiamo con

```

fit0=glm(numclaims~1+offset(log(exposure)),family=poisson,data=cars)
summary(fit0)

```

```

## 
## Call:
## glm(formula = numclaims ~ 1 + offset(log(exposure)), family = poisson,
##      data = cars)
##
## Deviance Residuals:
##    Min      1Q  Median      3Q     Max
## -0.5570 -0.4573 -0.3511 -0.2254  4.4368
##
## Coefficients:
##             Estimate Std. Error z value Pr(>|z|)
## (Intercept) -1.86273   0.01423 -130.9   <2e-16 ***
## ---
## Signif. codes:  0 '***' 0.001 '**' 0.01 '*' 0.05 '.' 0.1 ' ' 1
##
## (Dispersion parameter for poisson family taken to be 1)
##
## Null deviance: 25507  on 67855  degrees of freedom
## Residual deviance: 25507  on 67855  degrees of freedom
## AIC: 34944
##
## Number of Fisher Scoring iterations: 6

```

otteniamo  $\hat{\beta}_0 = -1.863$ , che corrisponde a un tasso annuale di sinistri pari a  $e^{\hat{\beta}_0} = 0.155$ . Si noti che quest'ultimo non è altro che

$$\frac{\sum_{i=1}^n y_i}{\sum_{i=1}^n e_i}$$

```
sum(cars$numclaims)/sum(cars$exposure)
```

```
## [1] 0.1552476
```

che è chiaramente maggiore del numero medio di sinistri

$$\frac{\sum_{i=1}^n y_i}{n}$$

```
mean(cars$numclaims)
```

```
## [1] 0.07275701
```

essendo tutte le esposizioni minori di uno.

Consideriamo ora un modello con l'offset e l'esplicativa `agecat`

```

fitA <- glm(numclaims ~ agecat, family=poisson(link=log),
             offset=log(exposure), data=cars)
summary(fitA)

##
## Call:
## glm(formula = numclaims ~ agecat, family = poisson(link = log),
##      data = cars, offset = log(exposure))
##
## Deviance Residuals:
##    Min      1Q  Median      3Q     Max
## -0.6338 -0.4544 -0.3482 -0.2227  4.5443
##
## Coefficients:
##              Estimate Std. Error z value Pr(>|z|)
## (Intercept) -1.60458   0.04364 -36.766 < 2e-16 ***
## agecat2     -0.16900   0.05390  -3.136  0.00172 **
## agecat3     -0.22507   0.05240  -4.295 1.75e-05 ***
## agecat4     -0.25600   0.05243  -4.883 1.05e-06 ***
## agecat5     -0.47235   0.05872  -8.044 8.68e-16 ***
## agecat6     -0.46832   0.06685  -7.006 2.46e-12 ***
## ---
## Signif. codes:  0 '***' 0.001 '**' 0.01 '*' 0.05 '.' 0.1 ' ' 1
##
## (Dispersion parameter for poisson family taken to be 1)
##
## Null deviance: 25507  on 67855  degrees of freedom
## Residual deviance: 25415  on 67850  degrees of freedom
## AIC: 34862
##
## Number of Fisher Scoring iterations: 6

```

Dalla tabella dei coefficienti possiamo concludere che la variabile `agecat` è significativa, e che il tasso annuo di sinistri diminuisce con l'età. L'intercetta è il logaritmo del tasso annuo di sinistri per la categoria 1, e quindi il tasso è

```

exp(coef(fitA)[1])

## (Intercept)
## 0.2009743

```

Possiamo calcolare il tasso annuo di sinistri per la categoria j come

$$\exp(\text{coef}(\text{fitA})[1] + \text{coef}(\text{fitA})[j])$$

calcoliamolo per tutte le categorie come

```

exp(coef(fitA)[1]+coef(fitA)[-1])

##   agecat2   agecat3   agecat4   agecat5   agecat6
## 0.1697254 0.1604706 0.1555824 0.1253140 0.1258200

```

Naturalmente, lo stesso si può ottenere con `predict`, specificando `exposure` pari a 1.

```

predict(fitA,type="response",
        newdata=data.frame(agecat=factor(1:6),exposure=1))

##      1      2      3      4      5      6
## 0.2009743 0.1697254 0.1604706 0.1555824 0.1253140 0.1258200

```

Si noti che le stime dei tassi annui non sono altro che i rapporti, per ciascuna categoria tra numero di sinistri e esposizione, che si possono calcolare da

```

by(cars,cars$agecat,FUN=function(d) sum(d$numclaims)/sum(d$exposure))

## cars$agecat: 1
## [1] 0.2009743
## -----
## cars$agecat: 2
## [1] 0.1697254
## -----
## cars$agecat: 3
## [1] 0.1604706
## -----
## cars$agecat: 4
## [1] 0.1555824
## -----
## cars$agecat: 5
## [1] 0.125314
## -----
## cars$agecat: 6
## [1] 0.12582

```

## Selezione del modello

Dobbiamo poi scegliere quali variabili includere nel modello tra quelle a disposizione, possiamo adottare una procedura a passi. Le variabili candidate sono

```
veh_value  veh_body  veh_age  gender  area  agecat
```

Possiamo usare a tal fine l'istruzione `step`.

```

fitSTEP <- step(fitA, scope= ~ veh_value + veh_body + veh_age + gender
+ area + agecat, direction="both")

## Start: AIC=34862.03
## numclaims ~ agecat
##
##          Df Deviance   AIC
## + veh_age     3    25388 34841
## + veh_value   1    25396 34845
## + veh_body   12    25376 34847
## + area       5    25404 34860
## <none>        25415 34862
## + gender      1    25415 34863
## - agecat      5    25507 34944
##
## Step: AIC=34840.93
## numclaims ~ agecat + veh_age
##
##          Df Deviance   AIC
## + veh_body   12    25345 34822
## + veh_value   1    25383 34837
## + area       5    25377 34840
## <none>        25388 34841
## + gender      1    25388 34843
## - veh_age     3    25415 34862
## - agecat      5    25478 34920
##
## Step: AIC=34821.84
## numclaims ~ agecat + veh_age + veh_body
##
##          Df Deviance   AIC
## + area       5    25334 34821
## <none>        25345 34822
## + veh_value   1    25343 34822
## + gender      1    25345 34823
## - veh_body   12    25388 34841
## - veh_age     3    25376 34847
## - agecat      5    25436 34903
##
## Step: AIC=34820.98
## numclaims ~ agecat + veh_age + veh_body + area
##
##          Df Deviance   AIC
## <none>        25334 34821

```

```

## + veh_value 1 25333 34821
## - area 5 25345 34822
## + gender 1 25334 34822
## - veh_body 12 25377 34840
## - veh_age 3 25365 34845
## - agecat 5 25422 34898

```

```

summary(fitSTEP)

##
## Call:
## glm(formula = numclaims ~ agecat + veh_age + veh_body + area,
##      family = poisson(link = log), data = cars, offset = log(exposure))
##
## Deviance Residuals:
##    Min      1Q  Median      3Q     Max
## -0.8985 -0.4521 -0.3460 -0.2213  4.5532
##
## Coefficients:
##             Estimate Std. Error z value Pr(>|z|)
## (Intercept) -1.537677  0.063099 -24.369 < 2e-16 ***
## agecat2     -0.172843  0.054178 -3.190 0.001421 **
## agecat3     -0.229309  0.052889 -4.336 1.45e-05 ***
## agecat4     -0.257461  0.052743 -4.881 1.05e-06 ***
## agecat5     -0.474815  0.059105 -8.033 9.48e-16 ***
## agecat6     -0.457768  0.067583 -6.773 1.26e-11 ***
## veh_age2     0.040850  0.043445  0.940 0.347082
## veh_age3     -0.085385  0.043090 -1.982 0.047529 *
## veh_age4     -0.164123  0.044584 -3.681 0.000232 ***
## veh_bodyHBACK -0.061465  0.037463 -1.641 0.100861
## veh_bodySTNWG  0.040907  0.038849  1.053 0.292363
## veh_bodyUTE   -0.181847  0.066302 -2.743 0.006094 **
## veh_bodyTRUCK -0.014401  0.092422 -0.156 0.876177
## veh_bodyHDTOP  0.106881  0.090149  1.186 0.235776
## veh_bodyCOUPE  0.426092  0.118783  3.587 0.000334 ***
## veh_bodyPANVN  0.061901  0.124132  0.499 0.618014
## veh_bodyMIBUS -0.044306  0.152034 -0.291 0.770730
## veh_bodyMCARA  0.596160  0.259702  2.296 0.021701 *
## veh_bodyCONVT -0.600532  0.578065 -1.039 0.298867
## veh_bodyBUS    0.925994  0.317916  2.913 0.003583 **
## veh_bodyRDSTR  0.406066  0.578314  0.702 0.482582
## areaB         0.051626  0.042778  1.207 0.227496
## areaC         0.003946  0.038977  0.101 0.919371

```

```

## areaD      -0.109084  0.052918 -2.061  0.039267 *
## areaE      -0.030349  0.057846 -0.525  0.599825
## areaF       0.068747  0.066070  1.041  0.298100
## ---
## Signif. codes:  0 '***' 0.001 '**' 0.01 '*' 0.05 '.' 0.1 ' ' 1
##
## (Dispersion parameter for poisson family taken to be 1)
##
## Null deviance: 25507  on 67855  degrees of freedom
## Residual deviance: 25334  on 67830  degrees of freedom
## AIC: 34821
##
## Number of Fisher Scoring iterations: 6

```

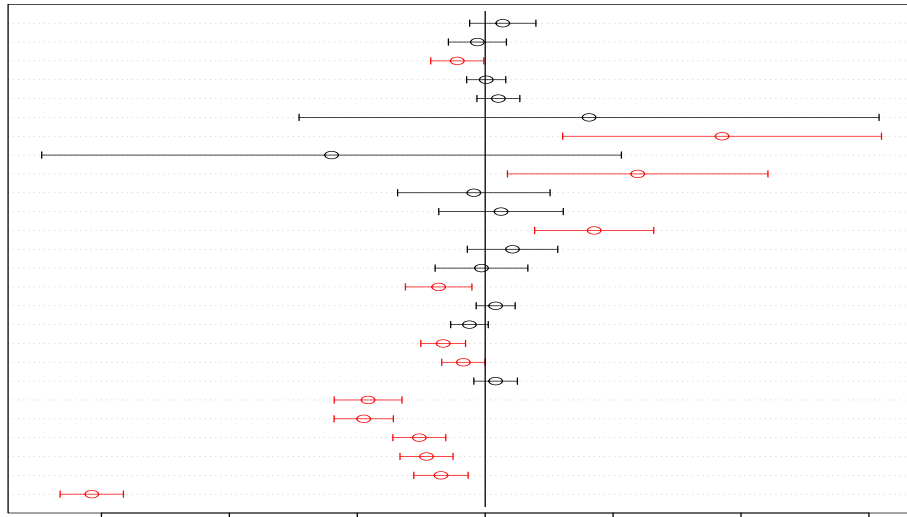
Può essere utile rappresentare i coefficienti graficamente

```

sfitSTEP=summary(fitSTEP)
par(mar=c(1,4,1,1),cex=1.5)
up=sfitSTEP$coef[,1]+1.96*sfitSTEP$coef[,2]
low=sfitSTEP$coef[,1]-1.96*sfitSTEP$coef[,2]
signif=!((0<up & 0>low))
colore=c("black","red")[1+signif]
dotchart(sfitSTEP$coef[,1],xlim=range(low,up),xlab=expression(hat(beta)[i]),col=colore)
arrows(low,1:nrow(sfitSTEP$coef),up, 1:nrow(sfitSTEP$coef), length=0.05, angle=90, code=3,
       col=colore)
abline(v=0)

```

areaF  
 areaE  
**areaD**  
 areaC  
 areaB  
 veh\_bodyRDSTR  
**veh\_bodyBUS**  
 veh\_bodyCONVT  
**veh\_bodyMCARA**  
 veh\_bodyMIBUS  
 veh\_bodyPANVN  
**veh\_bodyCOUPE**  
 veh\_bodyHDTOP  
 veh\_bodyTRUCK  
**veh\_bodyUTE**  
 veh\_bodySTNWG  
 veh\_bodyHBACK  
**veh\_age4**  
**veh\_age3**  
 veh\_age2  
 agecat6  
 agecat5  
 agecat4  
 agecat3  
 agecat2  
 (Intercept)

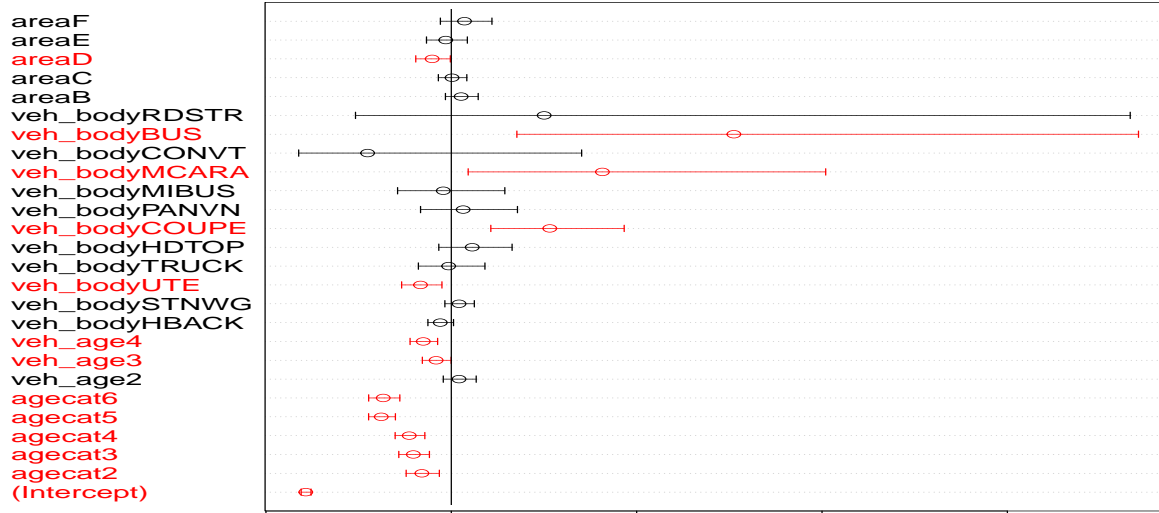


La stessa cosa può essere fatta per  $e^{\hat{\beta}_j}$ .

```

par(mar=c(1,4,1,1),cex=1.5)
up2=exp(up)
low2=exp(low)
signif=! (1<up2 & 1>low2)
colore=c("black","red")[1+signif]
dotchart(exp(sfitSTEP$coef[,1]),xlim=range(low2,up2),xlab=expression(e^hat(beta)[i]),
         col=colore)
arrows(low2,1:nrow(sfitSTEP$coef), up2, 1:nrow(sfitSTEP$coef), length=0.05, angle=90,
       code=3,col=colore)
abline(v=1)

```



Si noti che la procedura *stepwise* include o esclude dal modello le variabili qualitative, che corrispondono a un blocco di variabili indicatrici, alcune delle quali possono risultare non significative. Ad esempio si noti che per **area** è significativa solo **areaD**, cioè la variabile indicatrice che è 1 per **area=D** e 0 altrimenti (a significare che c'è una differenza significativa tra area A, la *baseline*, e area D ma non tra l'area A e le altre).

## Modellare le unità di terapia intensiva Covid-19

### Descrizione del dataset

Ci concentriamo ora sulla modellazione del numero di unità di terapia intensiva (ICU) registrate nelle regioni italiane durante la prima fase dell'epidemia Covid-19. I dati sono disponibili sul sito web della **Protezione Civile** <https://github.com/pcm-dpc/COVID-19> e sono scaricabili direttamente dal sito. Il dataset **covid19\_ita.csv** raccoglie 2121 osservazioni: per ogni regione abbiamo una *serie temporale* di 101 osservazioni (non solo per ICU), dal 24 febbraio al 3 giugno 2020.

La costruzione di un modello predittivo per le terapie intensive consente una migliore allocazione dei pazienti durante la diffusione dell'epidemia: naturalmente, ci sono molte covariate che possono

aiutare in questo compito. Tuttavia, ci affidiamo solo a un gruppo di loro. Per una studio più completo basato su modelli gerarchici visitare il sito <https://www.leonardoegidi.com/covid-19>. Il set di dati contiene le seguenti variabili:

Nome variabile	Descrizione
<code>data</code>	Data di notifica
<code>stato</code>	Paese
<code>codice_regione</code>	Codice identificativo della regione (ISTAT 2019)
<code>denominazione_regione</code>	Nome della regione
<code>lat</code>	Latitudine
<code>long</code>	Longitudine
<code>ricoverati_con_sintomi</code>	Pazienti ospedalizzati con sintomi
<code>terapia_intensiva</code>	Pazienti in terapia intensiva
<code>totale_ospedalizzati</code>	Totale pazienti ospedalizzati
<code>isolamento_domiciliare</code>	Pazienti in isolamento domiciliare
<code>totale_positivi</code>	Totale dei pazienti attualmente positivi (ospedalizzati + domiciliari)
<code>variazione_totale_positivi</code>	Differenza giornaliera nel numero di attualmente positivi
<code>nuovi_positivi</code>	Nuovi casi giornalieri positivi
<code>dimesse_guariti</code>	Persone dimesse e guarite
<code>deceduti</code>	Morti da Covid-19
<code>totale_casi</code>	Totale dei casi positivi
<code>tamponi</code>	Tamponi effettuati
<code>casi_testati</code>	Numero totale di persone testate

Prima di tutto leggiamo i dati .csv con la funzione `read.csv2`:

```
covid <- read.csv2(file="covid19_ita.csv", sep=";")
```

ed estraiamo la variabile ICU:

```
icu <- covid$terapia_intensiva
```

Per avere uno sguardo globale, possiamo rappresentare le serie temporali per ciascuna regione durante i 101 giorni:

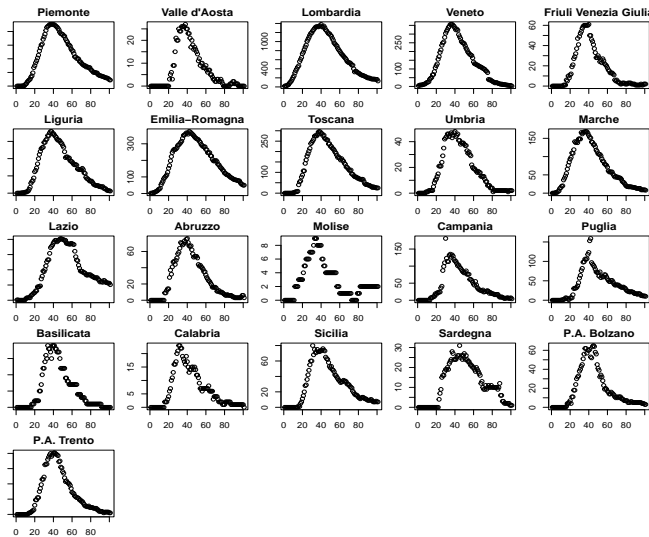
```
reg <- c("Piemonte", "Valle d'Aosta", "Lombardia",
       "NA", "Veneto", "Friuli Venezia Giulia",
       "Liguria", "Emilia-Romagna", "Toscana",
       "Umbria", "Marche", "Lazio", "Abruzzo",
       "Molise", "Campania", "Puglia", "Basilicata",
       "Calabria", "Sicilia", "Sardegna",
       "P.A. Bolzano", "P.A. Trento")

par(mfrow= c(5,5), mar=c(2,1,2,2))
for (i in c(1:3, 5:22)){
```

```

plot(icu[covid$codice_regione==i],
     xlab = "Days", ylab = "ICU", main =as.character(reg)[i] )
}

```



## Un modello di Poisson per le terapie intensive

Concentriamoci ora sulla terapia intensiva per una singola regione, ad esempio la Lombardia:

```
icu_lombardia <- icu[covid$denominazione_regione=="Lombardia"]
```

e proviamo a stimare una regressione di Poisson per questi dati, usando solo `days` come covariata:

```

days <- c(1:101)
mod_covid <- glm(icu_lombardia ~ days,
                  family = "poisson")
summary(mod_covid)

##
## Call:
## glm(formula = icu_lombardia ~ days, family = "poisson")
##
## Deviance Residuals:
##      Min      1Q      Median      3Q      Max 
## -39.26   -15.53    -1.49    13.93    23.43 
##
## Coefficients:
##             Estimate Std. Error z value Pr(>|z|)    
## (Intercept) 6.7655443  0.0073371  922.10  <2e-16 ***
## days        -0.0059858  0.0001352  -44.28  <2e-16 ***

```

```

## ---
## Signif. codes: 0 '***' 0.001 '**' 0.01 '*' 0.05 '.' 0.1 ' ' 1
##
## (Dispersion parameter for poisson family taken to be 1)
##
## Null deviance: 32210 on 100 degrees of freedom
## Residual deviance: 30232 on 99 degrees of freedom
## AIC: 31041
##
## Number of Fisher Scoring iterations: 5

```

La covariata `days` è statisticamente diversa da zero. Per valutare la capacità predittiva di questo modello durante i giorni di osservazione, utilizziamo la funzione `predict`:

```

pred_lombardia <- predict(mod_covid, days = days,
                           type = "response")

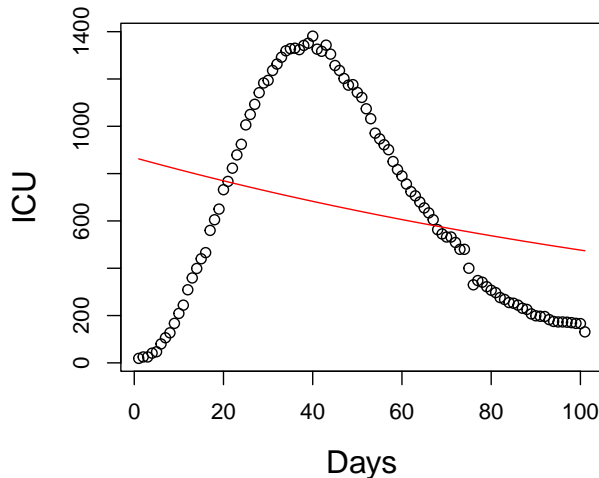
```

Ora possiamo tracciare queste previsioni per ogni giorno insieme ai dati osservati:

```

par(mfrow=c(1,1))
par(mar=c(5,6,2,1))
plot(icu_lombardia, xlab = "Days", ylab ="ICU",
     cex.lab =1.4)
lines(pred_lombardia, col ="red")

```



Il modello sembra non essere adatto a descrivere i dati: infatti le previsioni (linea rossa) non corrispondono ai dati a portata di mano...forse, l'aggiunta di alcuni predittori potrebbe aiutare. La forma del grafico sopra suggerisce una dipendenza abbastanza non lineare tra `icu` e `days`: possiamo provare a includere un effetto quadratico nel `glm`:

```

mod_covid2 <- glm(icu_lombardia ~ days+I(days^2),
                   family = "poisson")
summary(mod_covid2)

##
## Call:
## glm(formula = icu_lombardia ~ days + I(days^2), family = "poisson")
##
## Deviance Residuals:
##      Min       1Q   Median       3Q      Max
## -14.8150  -5.2339  -0.9275   4.9976  12.8995
##
## Coefficients:
##             Estimate Std. Error z value Pr(>|z|)
## (Intercept) 4.939e+00 1.716e-02 287.8 <2e-16 ***
## days        9.660e-02 7.590e-04 127.3 <2e-16 ***
## I(days^2)  -1.069e-03 7.789e-06 -137.2 <2e-16 ***
## ---
## Signif. codes: 0 '***' 0.001 '**' 0.01 '*' 0.05 '.' 0.1 ' ' 1
##
## (Dispersion parameter for poisson family taken to be 1)
##
## Null deviance: 32210.4 on 100 degrees of freedom
## Residual deviance: 4115.8 on 98 degrees of freedom
## AIC: 4926.4
##
## Number of Fisher Scoring iterations: 5

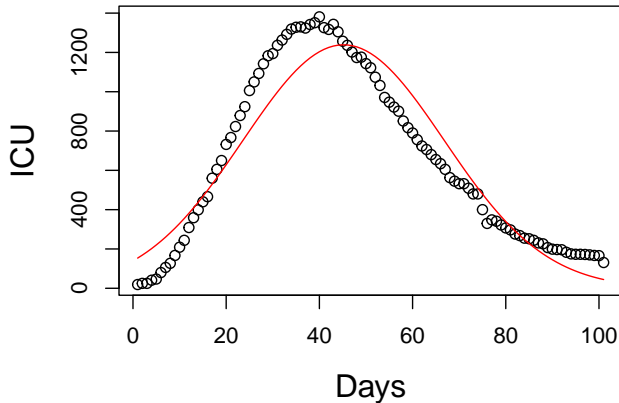
```

Entrambi i coefficienti per `days` e il corrispondente effetto quadratico sono statisticamente diversi da zero; inoltre, la devianza residua del secondo modello è molto inferiore alla devianza del primo modello (4115.8 vs 30232!). Come prima, diamo un'occhiata alle previsioni:

```

pred_lombardia2<- predict(mod_covid2, days = days,
                           type = "response")
plot(icu_lombardia, xlab = "Days", ylab ="ICU",
     cex.lab =1.4)
lines(pred_lombardia2, col ="red")

```



Da questo grafico, confermiamo che questo secondo modello è decisamente migliore del primo.

## Un modello di quasi verosimiglianza

Come notato sopra, un’inefficienza del modello di Poisson è che la media e la varianza coincidono: in tal modo, non è possibile catturare un’eventuale sovrardispersione nei dati. Utilizzando la famiglia `quasipoisson` nella funzione `glm` possiamo stimare il parametro di dispersione tenendo conto della seguente specificazione:

$$\begin{aligned} E(Y_i) &= \lambda_i \\ \text{Var}(Y_i) &= \phi E(Y_i) = \phi \lambda_i, \end{aligned}$$

dove  $\phi$  è il cosiddetto parametro di dispersione che posso stimare con  $\hat{\phi} = \frac{1}{n-p} \sum_i \frac{(y_i - \hat{\lambda}_i)^2}{\hat{\lambda}_i}$ .

```
mod_covid_qp <- glm(icu_lombardia ~ days + I(days^2),
                      family = "quasipoisson")
summary(mod_covid_qp)

##
## Call:
## glm(formula = icu_lombardia ~ days + I(days^2), family = "quasipoisson")
##
## Deviance Residuals:
##      Min        1Q    Median        3Q       Max
## -14.8150   -5.2339   -0.9275    4.9976   12.8995
##
## Coefficients:
##             Estimate Std. Error t value Pr(>|t|)
## (Intercept) 4.939e+00  1.109e-01   44.53   <2e-16 ***
## days        9.660e-02  4.906e-03   19.69   <2e-16 ***
```

```

## I(days^2) -1.069e-03 5.034e-05 -21.23 <2e-16 ***
## ---
## Signif. codes: 0 '***' 0.001 '**' 0.01 '*' 0.05 '.' 0.1 ' ' 1
##
## (Dispersion parameter for quasipoisson family taken to be 41.77469)
##
## Null deviance: 32210.4 on 100 degrees of freedom
## Residual deviance: 4115.8 on 98 degrees of freedom
## AIC: NA
##
## Number of Fisher Scoring iterations: 5

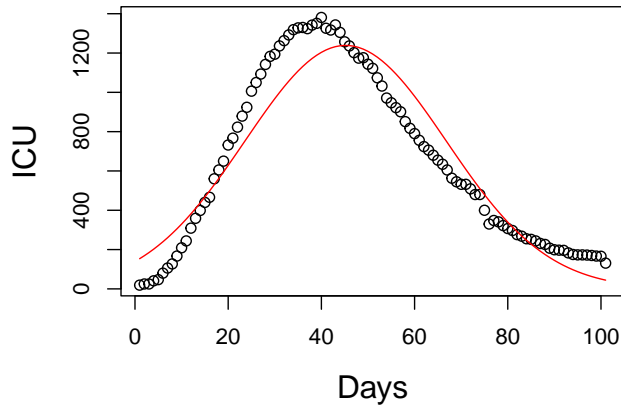
```

Come si può notare, le stime riportate nella prima colonna della tabella sono analoghe a quelle prodotte dal modello di Poisson, tuttavia cambiano gli standard errors associati a tali stime. La stima del parametro di dispersione è  $\hat{\phi} = 41.8$ : c'è quindi una chiara indicazione di sovradispersione. Rivediamo le previsioni:

```

pred_lombardia_qp<- predict(mod_covid_qp, days = days,
                               type = "response")
plot(icu_lombardia, xlab = "Days", ylab ="ICU",
     cex.lab =1.4)
lines(pred_lombardia_qp, col ="red")

```



## Modello binomiale-negativa

Sempre per tenere debitamente in conto la sovradispersione, possiamo anche stimare direttamente un modello con binomiale negativa tramite la funzione `glm.nb` del pacchetto MASS:

```

library(MASS)
mod_covid_nb <- glm.nb(icu_lombardia ~ days+I(days^2))
summary(mod_covid_nb)

##
## Call:
## glm.nb(formula = icu_lombardia ~ days + I(days^2), init.theta = 6.398693746,
##        link = log)
##
## Deviance Residuals:
##      Min       1Q   Median       3Q      Max
## -3.2260  -0.8113  -0.1877   0.7239   1.9113
##
## Coefficients:
##             Estimate Std. Error z value Pr(>|z|)
## (Intercept) 4.580e+00 1.224e-01 37.42 <2e-16 ***
## days        1.024e-01 5.531e-03 18.52 <2e-16 ***
## I(days^2)   -1.040e-03 5.259e-05 -19.77 <2e-16 ***
## ---
## Signif. codes:  0 '***' 0.001 '**' 0.01 '*' 0.05 '.' 0.1 ' ' 1
##
## (Dispersion parameter for Negative Binomial(6.3987) family taken to be 1)
##
## Null deviance: 438.14 on 100 degrees of freedom
## Residual deviance: 106.21 on 98 degrees of freedom
## AIC: 1355.5
##
## Number of Fisher Scoring iterations: 1
##
##
##          Theta:  6.399
##          Std. Err.: 0.920
##
## 2 x log-likelihood:  -1347.521

```

Come si può vedere, otteniamo valori per le stime simili a quelli precedentemente ottenuti tramite il Poisson e il quasi Poisson. Notiamo però come i valori di devianza residua e di AIC per questo ultimo modello siano estremamente più bassi di quelli ottenuti per Poisson e quasi Poisson (per quest'ultimo non si può però calcolare l'AIC, in quanto non si tratta di un approccio basato sulla verosimiglianza).

## Adeguatezza dei modelli tramite i residui

Come strumento di confronto finale, possiamo tracciare i residui standardizzati per i quattro modelli trattati: Poisson con solo il tempo; Poisson, quasi Poisson e binomiale-negativa con anche l'effetto

quadratico del tempo. Per i modelli di Poisson i residui standardizzati sono:

$$r_i = \frac{y_i - \hat{\lambda}_i}{\sqrt{\hat{\lambda}_i}}, \quad i = 1, \dots, N,$$

dove  $\hat{\lambda}_i = \exp\{\hat{\beta}_0 + \hat{\beta}_1 days_i + \hat{\beta}_2 days_i^2\}$ . Per il modello quasi Poisson i residui standardizzati sono:

$$r_i = \frac{y_i - \hat{\lambda}_i}{\sqrt{\hat{\phi}\hat{\lambda}_i}}, \quad i = 1, \dots, N,$$

dove  $\hat{\phi}$  è la stima del parametro di dispersione.

Per quanto riguarda invece i residui della binomiale negativa abbiamo:

$$r_i = \frac{y_i - \hat{\lambda}_i}{\sqrt{\hat{\lambda}_i + \hat{\lambda}_i^2/\hat{\phi}}}, \quad i = 1, \dots, N,$$

dove  $\hat{\phi}$  è la stima del parametro di dispersione della binomiale negativa: notare che tale parametro ha un diverso significato rispetto a quanto avviene nel quasi Poisson. Nell'esempio sopra per il modello BN troviamo  $\hat{\phi} = 6.4$ , (la varianza della BN è  $\lambda + \lambda^2/\phi$ ), mentre nel quasi Poisson troviamo  $\hat{\phi} = 41.8$  (ma qui la varianza è  $\phi\lambda$ ). Estraiamo i residui dai quattro modelli:

```
# estraggo residui dai modelli e calcolo le versioni standardizzate
res1 <- (icu_lombardia-mod_covid$fitted.values)/sqrt(mod_covid$fitted.values)
res2 <- (icu_lombardia-mod_covid2$fitted.values)/sqrt(mod_covid2$fitted.values)
res3 <- (icu_lombardia-mod_covid_qp$fitted.values)/sqrt(41.8*mod_covid_qp$fitted.values)
res4 <- (icu_lombardia-mod_covid_nb$fitted.values)/sqrt(mod_covid_nb$fitted.values +
           (1/6.4)*(mod_covid_nb$fitted.values)^2)
```

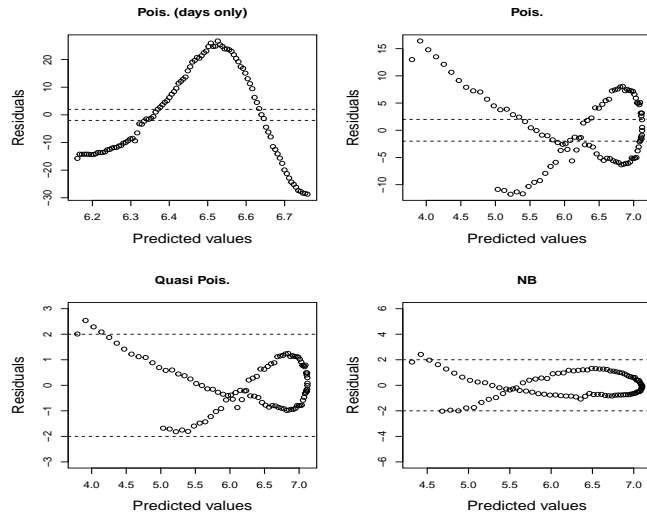
E ora rappresentiamoli

```
par(mfrow=c(2,2))
plot(log(mod_covid$fitted.values), res1,
     xlab = "Predicted values",
     ylab = "Residuals", cex.lab = 1.4, main = "Pois. (days only)")
abline(h = -2, lty=2)
abline(h=2, lty=2)
plot(log(mod_covid2$fitted.values), res2,
     xlab = "Predicted values",
     ylab = "Residuals", cex.lab = 1.4, main = "Pois.")
abline(h = -2, lty=2)
abline(h=2, lty=2)
plot(log(mod_covid_qp$fitted.values), res3,
     xlab = "Predicted values",
     ylab = "Residuals", cex.lab = 1.4, ylim=c(-3,3), main = "Quasi Pois.")
abline(h = -2, lty=2)
```

```

abline(h=2, lty=2)
plot(log(mod_covid_nb$fitted.values), res4,
  xlab = "Predicted values",
  ylab = "Residuals", cex.lab =1.4, ylim=c(-6,6), main = "NB")
abline(h =-2, lty=2)
abline(h=2, lty=2)

```



Molti dei residui standardizzati nel modello quasi Poisson e in quello binomiale negativo sono limitati tra -2 e 2: questo suggerisce e conferma chiaramente un adattamento migliore di questi modelli rispetto al semplice modello di Poisson.